

的思路。

参考文献

- 1 张运克. 补阳还五汤及拆方对脑缺血再灌注 SD 大鼠模型细胞凋亡及 Bcl-2、Bax 蛋白表达的影响 [J]. 中华中医药杂志, 2007, 22 (6): 404 - 407.
- 2 Cain K, Bratton SB, Langlais C, et al. Apaf-1 oligomerizes into biologically active approximately 700-KDa and inactive approximately 1.4-MDa apoptosome complexes [J]. J Biol Chem, 2000, 275 (9): 6067 - 6070.
- 3 Pulsinelli WA, Brierley JB, Plum F. Temporal profile of neuronal damage in a model of transient forebrain ischemia [J]. Ann Neurol, 1982, 11 (5): 491 - 498.
- 4 陈罗西, 郭玲玲, 李亮. Morris 圆形水迷宫的应用及其相关检测指标分析 [J]. 辽宁中医药大学学报, 2008, 10 (8): 55 - 57.
- 5 Das A, Guyton MK, Matzelle DD, et al. Time-dependent increases in protease activities for neuronal apoptosis in spinal cords of lewis rats during development of acute experimental autoimmune encephalomyelitis [J]. J Neurosci Res, 2008, 86 (13): 2992 - 3001.
- 6 He A, Wang JA, Gui C, et al. Changes of mitochondrial pathway in hypoxia reoxygenation induced cardiomyocytes apoptosis [J]. Folia Histochem Cytobiol, 2007, 45 (4): 397 - 400.
- 7 Bratton SB, Macfarlane M, Cain K, et al. Protein complexes activate distinct caspase cascade in death receptor and stress-induced apoptosis [J]. Exp Cell Res, 2000, 256 (1): 27 - 33.
- 8 Cheng HY, Hsieh MT, Wu CR, et al. Schizandrin protects primary cultures of rat cortical cells from glutamate-induced excitotoxicity [J]. J Pharmacol Sci, 2008, 107 (1): 21 - 31.
- 9 Shi Y. Apoptosome: the cellular engine for the activation of Caspase-9 [J]. Structure, 2002, 10 (3): 285 - 288.
- 10 Acehan D, Jiang X, Morgan DG, et al. Three-dimensional structure of the apoptosome: implications for assembly, Procaspe-9 binding, and activation [J]. Mol Cell, 2002, 9 (2): 423 - 432.
- 11 冯涛. 血管性痴呆的诊断、影像学和药物治疗 [J]. 中国全科医学, 2004, 7 (4): 276 - 279.
- 12 Lavrik IN, Golks A, Krammer PH. Caspases: pharmacological manipulation of cell death [J]. J Clin Invest, 2005, 115 (10): 2665 - 2672.
- 13 Zhu C, Wang X, Hagberg H, et al. Correlation between Caspase-3 activation and three different markers of DNA damage in neonatal cerebral hypoxia-ischemia [J]. J Neurochem, 2000, 75 (2): 819 - 829.
- 14 Eldadah BA, Faden AI. Caspase pathways, neuronal apoptosis, and CNS injury [J]. J Neurotrauma, 2000, 17 (10): 811 - 829.

[收稿日期 2013-02-12] [本文编辑 刘京虹 吕文娟]

课题研究 · 论著

两种不同方法提取人粪便进行 DNA 检测的有效性研究

何纯刚, 黄沁园, 陈利生, 吴鸿根, 邓洪强, 潘云

基金项目: 广西教育厅科研课题(编号:201012MS043); 广西卫生厅科研课题(编号:Z2012246)

作者单位: 530021 南宁, 广西壮族自治区人民医院普外儿外科(何纯刚, 吴鸿根, 邓洪强, 潘云); 530021 南宁, 广西医科大学护理学院(黄沁园); 530021 南宁, 广西医科大学第一附属医院结直肠肛门外科(陈利生)

作者简介: 何纯刚(1979-), 男, 医学博士, 主治医师, 研究方向: 胃肠肿瘤的诊治。E-mail: chunganghe@yahoo.com.cn

[摘要] 目的 分析两种不同方法提取人粪便进行 DNA 检测的效果。方法 收集 108 例研究者的粪便, 采用粪便 DNA 提取试剂盒及酚-氯仿法提取 DNA, 比较两种方法提取 DNA 的效果。结果 采用酚-氯仿的方法及试剂盒提取的 DNA 浓度分别为 $(232.51 \pm 41.24) \text{ ng}/\mu\text{l}$ 和 $(67.35 \pm 13.17) \text{ ng}/\mu\text{l}$ ($P < 0.01$) ; 试剂盒提取粪便 DNA 在纯度(OD260/280)、溶液澄清度及电泳结果等方面, 均高(优)于酚-氯仿提取的 DNA ($P < 0.01$)。酚-氯仿及试剂盒首次提取的 DNA 能进行 PCR 扩增的阳性率分别为 5% (1/20) 和 91.67% (99/108) ($P < 0.01$)。另有 9 例采用试剂盒未能提取足够的 DNA 量, 加大粪便量后, 再次提取的 DNA 能够满足实验要求。结论 试剂盒提取的 DNA 质量较高, 能满足 DNA 甲基化检测的条件。酚-氯仿的提取方法有待进一步研究才可能获得质量较高的 DNA。

[关键词] 结直肠癌; 早期诊断; 粪便 DNA 提取

[中图分类号] R 735 **[文献标识码]** A **[文章编号]** 1674-3806(2013)05-0408-04

doi:10.3969/j.issn.1674-3806.2013.05.03

Research on the effectiveness of two methods for fecal DNA extraction and detection HE Chun-gang, Huang Qin-yuan, Chen Li-sheng, et al. Department of General and Pediatric Surgery, the People's Hospital of Guangxi Zhuang Autonomous Region, Nanning 530021, China

[Abstract] Objective To analyze the effectiveness of two methods for fecal DNA extraction and detection. Methods In 108 patients who were investigated, fecal samples were collected. The fecal DNA was extracted by QIAamp DNA Stool Mini Kit and phenol/chloroform method. The DNA quality extracted by the two methods was compared with each other. Results The concentrations of DNA extracted by phenol/chloroform method and kit were (232.51 ± 41.24) ng/ μ l and (67.35 ± 13.17) ng/ μ l, respectively ($P < 0.01$). The fecal DNA extracted by kit outweighed than phenol/chloroform method when compared on the indexes of purity (OD260/280), clarity of DNA solution and electrophoresis results (all $P < 0.01$). There were 91.67% (99/108) samples of fecal DNA extracted by kit can be amplified by PCR, while only 5% (1/20) samples of fecal DNA extracted by phenol/chloroform method can be amplified ($P < 0.01$). There was not enough concentration of DNA got from another 8.33% (9/108) samples of stool at the first time extracted by kit, but can achieve the requirements by improving the method at last. Conclusion The fecal DNA may be got higher quality extracted by kit when compared with phenol/chloroform method, and can achieve the requirements of bisulfite modification and PCR. Improving the phenol/chloroform method may also get high qualitative DNA.

[Key words] Colorectal cancer; Early diagnosis; Fecal DNA extraction

近年对于粪便基因突变的检测发现其对结直肠癌的早期筛查有较高的灵敏度和特异度^[1~3]。从粪便中提取高质量的DNA是粪便DNA检测技术首要解决的关键问题。因此,本研究对从粪便DNA提取方法作初步探讨,为研究粪便提取DNA甲基化检测用于结直肠癌的早期筛查奠定研究基础。

1 资料与方法

1.1 临床资料 108例研究对象中散发性结直肠癌61例,进展期结直肠腺瘤27例;非癌和非癌前病变者及正常人志愿者20例。粪便标本均取自于首次住院的患者,术前均经电子肠镜及病理证实。61例散发性结直肠癌患者中,男性37例,女性24例;年龄16~89岁,中位年龄58岁。27例进展期结直肠腺瘤患者中,男性15例,女性12例;年龄18~78岁,中位年龄54岁;病变部位位于结肠8例,直肠19例,直径均>2 cm;其中绒毛状腺瘤9例,管绒毛状腺瘤14例,管状腺瘤4例。20例非癌和非癌前病变住院者及正常人志愿者均行电子肠镜检查证实结直肠黏膜无异常,其中包含10例痔疮患者,3例肛瘘患者,2例便秘患者,5例正常人志愿者。

1.2 方法

1.2.1 粪便留取 每例研究对象取粪便约10 g置于干净标本盒内,粪便留取后立即收集于1.5 ml的冻存管内,置于-80℃超低温冰箱冻存备用。

1.2.2 酚-氯仿法粪便脱落细胞DNA常规提取 (1)取20例患者粪便(其中肠癌12例,进展期腺瘤5例,对照组3例),称重180~220 mg粪便放于2 ml

微量离心管,直接加入TE buffer 600 μ l,充分振荡混匀;(2)加10% SDS 200 μ l,震荡或搅拌混匀并使细胞充分裂解;(3)全速离心样本(14 000 rpm)1 min,吸取上清液加入一个新的2 ml离心管;(4)蛋白酶K(10 mg/ml)25 μ l,混匀,55℃水浴1 h;(5)加等体积饱和酚至上述样品处理液中,倒转混匀3 min;(6)12 000 rpm离心5 min,取上层水相到另一1.5 ml离心管中;(7)加等体积酚、氯仿、异戊醇(25:24:1),充分倒转混匀,12 000 rpm离心5 min,取上层水相到另一离心管中,重复操作一次;(8)加1/10体积的3M醋酸钠(pH 5.2)和2.5倍体积的无水乙醇,轻轻倒置混匀;(9)待絮状物出现后,用移液器枪头吸捞出絮状物;(10)用1 ml 70%乙醇洗涤沉淀,12 000 rpm离心5 min,弃上清液;(11)再次短暂离心管壁水珠,吸去残余液体,室温下放置数分钟晾干,加200 μ l TE buffer溶解。

1.2.3 试剂盒DNA提取 108例患者所有粪便标本DNA采用DNA提取试剂盒“QIAamp DNA Mini Kit”提取:(1)称取200 mg粪便放于2 ml离心管,置冰面上;(2)加1.6 ml ASL裂解液,充分振荡直到粪便样本彻底混匀;(3)全速离心(14 000 rpm)3 min;(4)吸1.4 ml的上清液加入一个新的2 ml微量离心管内,并丢弃其下层粪便;(5)每个样品中加1片抑制剂Inhibit EX(加前先磨碎),充分混匀,室温孵育1 min;(6)全速离心(14 000 rpm)3 min;(7)将上清液吸入一个新的1.5 ml离心管内,全速离心(14 000 rpm)3 min;(8)吸600 μ l的上清液加入一个新的2 ml离

心管内,加25 μl蛋白酶K;(9)加600 μl缓冲液AL并振荡15 s;(10)70 ℃水浴10 min;(11)水浴后加600 μl无水乙醇,并充分混匀;(12)每次吸600 μl的混合溶液加入QIAamp柱中,全速离心(12 000 rpm)1 min后倒掉收集管的废液,再重复2次,将所有液体离心过柱;(13)加500 μl缓冲液AW1入QIAamp柱中,全速离心(12 000 rpm)1 min;(14)加500 μl缓冲液AW2入QIAamp柱中,全速离心(12 000 rpm)1 min;(15)QIAamp柱放入一个新的2 ml收集管中,全速离心(12 000 rpm)1 min;(16)转移QIAamp柱入一个新标记的1.5 ml离心管上,向QIAamp柱加入200 μl AE缓冲液,室温孵育1 min;(17)全速离心(12 000 rpm)1 min,收集洗脱的DNA于-20 ℃冰箱冻存备用。

1.2.4 DNA溶液浓度及纯度测定 取5 μl DNA溶液,去离子水20倍稀释混匀,紫外分光光度仪测OD260、OD280,根据OD260计算DNA浓度及OD260/OD280比值检测DNA纯度。

1.2.5 DNA电泳分析 取DNA5 μl与1 μl(6×Loading buffer)混匀,采用1.0%琼脂糖凝胶电泳,电压10 V/cm,约30 min。凝胶成像分析仪观察并照相。比较两种方法所提DNA条带的完整性。

1.2.6 提取DNA的PCR有效性分析 本实验引用文献^[4]可扩增p33ING1b基因启动子部分序列的引物,比较两种方法所提DNA进行PCR的有效性分析。引物由上海生物工程技术有限公司合成,引物序列 p33ING1b (forward): 5'-CTCGGGCCTATC-CACCTCTTCTG-3'; p33ING1b (reverse): 5'-ACCAC-CACTCCCAGCAGCCTAG-3',扩增产物片段为157 bp。PCR反应体系(25 μl): ddH2O, 19.2 μl; 10 × Long Taq Buffer, 2.5 μl; 2.5 μm dNTPs, 1 μl; Forward primer (10 μm), 0.5 μl; Reverse primer (10 μm), 0.5 μl; Long Taq (2.5 U/μl), 0.3 μl; DNA, 1 μl。PCR反应条件:94 ℃ 4 min; 94 ℃ 30 sec, 59 ℃ 45 sec, 72 ℃ 30 sec(35个循环), 72 ℃ 5 min。将PCR产物采用2.5%的琼脂糖凝胶进行电泳,用凝胶成像分析系统观察并照相分析。

1.3 统计学方法 应用SPSS13.0统计软件进行数据处理,计量资料以均数±标准差($\bar{x} \pm s$)表示,两组间比较采用两个独立样本t检验,计数资料采用 χ^2 检验, $P < 0.05$ 为差异有统计学意义。

2 结果

2.1 两种方法提取的DNA色泽、浓度及纯度的比较 本次实验采用酚-氯仿的方法提取的粪便DNA

浓度为(232.51 ± 41.24) ng/μl,采用试剂盒提取粪便DNA浓度为(67.35 ± 13.17) ng/μl,两者差异有统计学意义($t = 17.744, P < 0.01$)。在提取的DNA色泽上,试剂盒提取的DNA溶液均无色透明,酚-氯仿提取的DNA溶液仅3/20例澄清,其余均为淡黄色液体($\chi^2 = 105.860, P < 0.01$)。酚-氯仿提取的DNA OD260/280(1.31 ± 0.26)明显低于试剂盒提取的DNA OD260/280(1.84 ± 0.12)($t = 8.942, P < 0.01$)。

2.2 两种方法提取DNA的电泳分析结果 酚-氯仿提取的DNA量大,均包含有人基因组DNA的信息,但大部分条带弥散(见图1);20例样品中仅3例所提的DNA条带单一。采用试剂盒首次提取的粪便DNA中,有91.67%(99/108例)DNA样品电泳可见清晰、单一条带,弥散现象较少,另有8.33%(9/108例)未见明显人基因组DNA条带(见图2)。

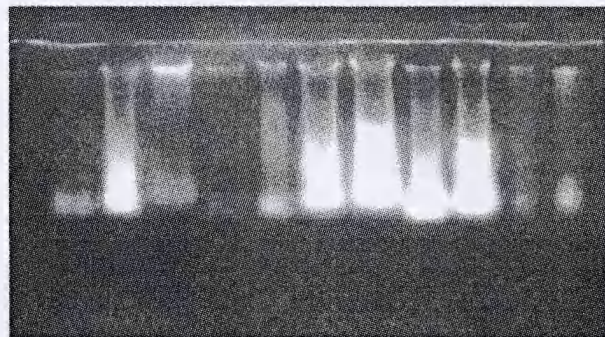
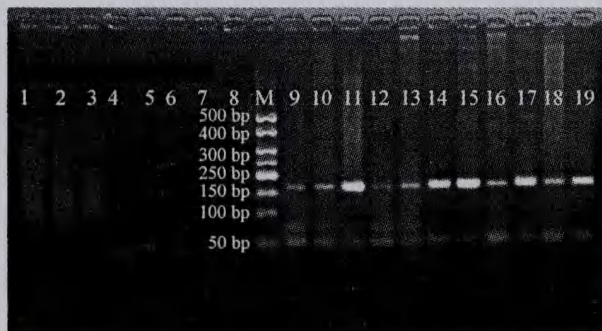


图1 酚-氯仿提取的粪便DNA电泳分析图



图2 试剂盒提取的粪便DNA电泳分析图

2.3 两种方法提取粪便DNA的PCR有效性分析结果 采用酚-氯仿法提取的DNA样品仅5%(1/20例)扩增出条带,而试剂盒提取的DNA中有91.67%(99/108例)可扩增出特异性条带,两者差异有统计学意义($P < 0.01$)。对9例首次未扩增出条带的样品(均为粘液便)经加大提取粪便量至400 mg,重新采用试剂盒提取后,再次行PCR检测能扩增出条带(见图3)。



1~8: PCR 模板为酚-氯仿抽提的 DNA; 9~19: PCR 模板为试剂盒提取的 DNA

图 3 两种方法提取粪便 DNA 的 PCR 有效性分析结果图

3 讨论

3.1 研究发现,每天有大量上皮细胞(约 10^{10} 个)更新并脱落入肠腔随粪便排出体外,粪便中大量的肿瘤细胞DNA能稳定存在。通过检测粪便DNA来发现遗传学及表观遗传学的改变,为结直肠癌的筛查诊断提供了新的选择途径^[5]。目前关于以粪便DNA突变检测^[1~3]及DNA甲基化检测^[5~8]来诊断结直肠癌的文献也已经证明了该方法的有效性,其对结直肠癌的诊断方面具有比粪便潜血试验更高的敏感度和特异度,且粪便DNA甲基化检测较DNA突变的检测具有更高的敏感度。因此,通过粪便DNA甲基化检测来筛查结直肠癌是一项很有前景的检测方法。

3.2 本实验对粪便DNA的提取进行了探讨,结果表明酚-氯仿及试剂盒(QIAamp DNA Stool Mini Kit)均能从少量粪便(200 mg)中提取DNA。其中酚-氯仿方法提取的DNA总量和浓度均高于试剂盒提取的DNA($P < 0.01$)。虽然试剂盒提取的DNA量较少,但提取的DNA平均浓度能满足DNA甲基化检测的条件^[9]。

3.3 电泳分析结果发现,试剂盒首次提取的DNA中有91.67%的样本明显可见人基因组DNA的电泳条带,且条带单一,提示细菌DNA含量较少,该方法能有效分离人基因组DNA与细菌DNA。而酚-氯仿提取的DNA电泳条带中也含有人基因组DNA的信息,还可见另一条较弥散的电泳亮带,提示除人DNA信息外,还包含了其他核酸信息如大量细菌DNA,这也是酚-氯仿提取的DNA浓度及量均比试剂盒提取的浓度和量大的原因。

3.4 通过对两种提取方法所提DNA溶液的质量发现,试剂盒提取的DNA溶液在色泽(澄清度)、纯度(OD260/OD280)等方面均优于酚-氯仿提取的

DNA($P < 0.01$)。本研究还发现,在酚-氯仿提取过程中,对不清亮的DNA即使反复用酚-氯仿抽提也不能使之澄清,可能是其中含有的胆汁及其他混杂成分不溶于酚-氯仿中所致。但如果针对存在的问题加以改进,有可能提出高纯度的DNA,从而避免使用相对昂贵的试剂盒,使粪便DNA检测技术更具有廉价性。

3.5 为了探讨粪便提取DNA的PCR有效性,本实验通过PCR扩增p33ING1b启动子区域的部分序列发现,酚-氯仿提取的DNA中,仅1/20例可进行PCR扩增;试剂盒提取的DNA中,均能经PCR扩增出目的条带(其中有9例为二次提取后进行PCR扩增出条带)。以上结果表明,少量粪便DNA的提取及进行PCR检测均具有可行性,为我们今后进行粪便DNA甲基化检测用于结直肠癌早期筛查研究奠定了基础。

参考文献

- Whitney D, Skoletsky J, Moore K, et al. Enhanced retrieval of DNA from human fecal samples results in improved performance of colorectal cancer screening test[J]. J Mol Diagn, 2004, 6(4):386~395.
- Tagore KS, Lawson MJ, Yucatit JA, et al. Sensitivity and specificity of a stool DNA multitarget assay panel for the detection of advanced colorectal neoplasia[J]. Clin Colorectal Cancer, 2003, 3(1):47~53.
- Imperiale TF, Ransohoff DF, Itzkowitz SH, et al. Fecal DNA versus fecal occult blood for colorectal-cancer screening in an average-risk population[J]. N Engl J Med, 2004, 351(26):2704~2714.
- Shen DH, Chan KY, Khoo US, et al. Epigenetic and genetic alterations of p33ING1b in ovarian cancer[J]. Carcinogenesis, 2005, 26(4):855~863.
- Abbaszadegan MR, Tarasoli A, Velayati A, et al. Stool-based DNA testing, a new noninvasive method for colorectal cancer screening, the first report from Iran[J]. World J Gastroenterol, 2007, 13(10):1528~1533.
- Petko Z, Ghiassi M, Shuber A, et al. Aberrantly methylated CD-KN2A, MGMT, and MLH1 in colon polyps and in fecal DNA from patients with colorectal polyps[J]. Clin Cancer Res, 2005, 11(3):1203~1209.
- Lenhard K, Bommer GT, Asutay S, et al. Analysis of promoter methylation in stool: a novel method for the detection of colorectal cancer [J]. Clin Gastroenterol Hepatol, 2005, 3(2):142~149.
- Huang ZH, Li LH, Fan Y, et al. Detection of aberrant methylation in fecal DNA as a molecular screening tool for colorectal cancer and precancerous lesions[J]. World J Gastroenterol, 2007, 13(6):950~954.
- 何纯刚,陈利生,曹云飞,等. p33生长抑制基因1b启动子甲基化检测方法的建立与评价[J]. 中华实验外科杂志, 2009, 26(7):131~132.

[收稿日期 2013-01-16] [本文编辑 宋卓孙 蓝斯琪]